

Starkniederschlagshöhen und -spenden gemäß KOSTRA-DWD-2020

Rasterfeld 202163

(Zeile 202, Spalte 163)

Regenspende und Bemessungsniederschlagswerte in Abhängigkeit von Wiederkehrzeit T und Dauerstufe D

| Dauerstufe D | | Wiederkehrzeit T | | | | | | | | | | | | | | | | | |
|--------------|-----|------------------|------------|------|------------|-------|------------|-------|------------|-------|------------|-------|------------|-------|------------|-------|------------|-------|------------|
| | | 1 a | | 2 a | | 3 a | | 5 a | | 10 a | | 20 a | | 30 a | | 50 a | | 100 a | |
| min | Std | mm | l / (s ha) | mm | l / (s ha) | mm | l / (s ha) | mm | l / (s ha) | mm | l / (s ha) | mm | l / (s ha) | mm | l / (s ha) | mm | l / (s ha) | mm | l / (s ha) |
| 5 | | 7,8 | 260,0 | 9,3 | 310,0 | 10,3 | 343,3 | 11,6 | 386,7 | 13,4 | 446,7 | 15,3 | 510,0 | 16,5 | 550,0 | 18,1 | 603,3 | 20,4 | 680,0 |
| 10 | | 10,2 | 170,0 | 12,2 | 203,3 | 13,5 | 225,0 | 15,1 | 251,7 | 17,5 | 291,7 | 19,9 | 331,7 | 21,5 | 358,3 | 23,7 | 395,0 | 26,7 | 445,0 |
| 15 | | 11,7 | 130,0 | 14,1 | 156,7 | 15,5 | 172,2 | 17,4 | 193,3 | 20,1 | 223,3 | 23,0 | 255,6 | 24,8 | 275,6 | 27,2 | 302,2 | 30,7 | 341,1 |
| 20 | | 12,9 | 107,5 | 15,5 | 129,2 | 17,0 | 141,7 | 19,1 | 159,2 | 22,1 | 184,2 | 25,2 | 210,0 | 27,3 | 227,5 | 29,9 | 249,2 | 33,8 | 281,7 |
| 30 | | 14,7 | 81,7 | 17,6 | 97,8 | 19,4 | 107,8 | 21,8 | 121,1 | 25,2 | 140,0 | 28,7 | 159,4 | 31,0 | 172,2 | 34,1 | 189,4 | 38,4 | 213,3 |
| 45 | | 16,6 | 61,5 | 19,9 | 73,7 | 22,0 | 81,5 | 24,7 | 91,5 | 28,5 | 105,6 | 32,5 | 120,4 | 35,2 | 130,4 | 38,6 | 143,0 | 43,5 | 161,1 |
| 60 | 1 | 18,1 | 50,3 | 21,7 | 60,3 | 24,0 | 66,7 | 26,9 | 74,7 | 31,1 | 86,4 | 35,5 | 98,6 | 38,3 | 106,4 | 42,1 | 116,9 | 47,5 | 131,9 |
| 90 | 1,5 | 20,4 | 37,8 | 24,5 | 45,4 | 27,0 | 50,0 | 30,3 | 56,1 | 35,1 | 65,0 | 40,0 | 74,1 | 43,3 | 80,2 | 47,5 | 88,0 | 53,5 | 99,1 |
| 120 | 2 | 22,3 | 31,0 | 26,7 | 37,1 | 29,4 | 40,8 | 33,0 | 45,8 | 38,2 | 53,1 | 43,6 | 60,6 | 47,1 | 65,4 | 51,7 | 71,8 | 58,3 | 81,0 |
| 180 | 3 | 25,0 | 23,1 | 30,0 | 27,8 | 33,1 | 30,6 | 37,2 | 34,4 | 43,0 | 39,8 | 49,1 | 45,5 | 53,0 | 49,1 | 58,2 | 53,9 | 65,6 | 60,7 |
| 240 | 4 | 27,2 | 18,9 | 32,7 | 22,7 | 36,0 | 25,0 | 40,4 | 28,1 | 46,8 | 32,5 | 53,3 | 37,0 | 57,6 | 40,0 | 63,3 | 44,0 | 71,3 | 49,5 |
| 360 | 6 | 30,6 | 14,2 | 36,7 | 17,0 | 40,5 | 18,8 | 45,5 | 21,1 | 52,6 | 24,4 | 60,0 | 27,8 | 64,8 | 30,0 | 71,1 | 32,9 | 80,2 | 37,1 |
| 540 | 9 | 34,4 | 10,6 | 41,3 | 12,7 | 45,5 | 14,0 | 51,1 | 15,8 | 59,1 | 18,2 | 67,4 | 20,8 | 72,9 | 22,5 | 80,0 | 24,7 | 90,2 | 27,8 |
| 720 | 12 | 37,4 | 8,7 | 44,9 | 10,4 | 49,5 | 11,5 | 55,5 | 12,8 | 64,3 | 14,9 | 73,3 | 17,0 | 79,2 | 18,3 | 86,9 | 20,1 | 97,9 | 22,7 |
| 1080 | 18 | 42,0 | 6,5 | 50,4 | 7,8 | 55,6 | 8,6 | 62,4 | 9,6 | 72,2 | 11,1 | 82,3 | 12,7 | 88,9 | 13,7 | 97,6 | 15,1 | 110,1 | 17,0 |
| 1440 | 24 | 45,7 | 5,3 | 54,7 | 6,3 | 60,4 | 7,0 | 67,8 | 7,8 | 78,4 | 9,1 | 89,4 | 10,3 | 96,6 | 11,2 | 106,0 | 12,3 | 119,6 | 13,8 |
| 2880 | 48 | 55,7 | 3,2 | 66,8 | 3,9 | 73,7 | 4,3 | 82,7 | 4,8 | 95,7 | 5,5 | 109,1 | 6,3 | 117,9 | 6,8 | 129,4 | 7,5 | 145,9 | 8,4 |
| 4320 | 72 | 62,6 | 2,4 | 75,0 | 2,9 | 82,8 | 3,2 | 92,9 | 3,6 | 107,5 | 4,1 | 122,6 | 4,7 | 132,4 | 5,1 | 145,4 | 5,6 | 163,9 | 6,3 |
| 5760 | 96 | 68,0 | 2,0 | 81,5 | 2,4 | 89,9 | 2,6 | 100,9 | 2,9 | 116,8 | 3,4 | 133,1 | 3,9 | 143,8 | 4,2 | 157,9 | 4,6 | 178,0 | 5,2 |
| 7200 | 120 | 72,5 | 1,7 | 86,9 | 2,0 | 95,8 | 2,2 | 107,6 | 2,5 | 124,5 | 2,9 | 141,9 | 3,3 | 153,3 | 3,5 | 168,3 | 3,9 | 189,8 | 4,4 |
| 8640 | 144 | 76,3 | 1,5 | 91,6 | 1,8 | 101,0 | 1,9 | 113,3 | 2,2 | 131,2 | 2,5 | 149,5 | 2,9 | 161,6 | 3,1 | 177,3 | 3,4 | 199,9 | 3,9 |
| 10080 | 168 | 79,8 | 1,3 | 95,7 | 1,6 | 105,5 | 1,7 | 118,5 | 2,0 | 137,1 | 2,3 | 156,3 | 2,6 | 168,9 | 2,8 | 185,4 | 3,1 | 209,0 | 3,5 |

Starkniederschlagshöhen und -spenden gemäß KOSTRA-DWD-2020

Rasterfeld 202163

(Zeile 202, Spalte 163)

Örtliche Unsicherheiten in Abhängigkeit von Wiederkehrzeit T und Dauerstufe D

| Dauerstufe D | | Wiederkehrzeit T | | | | | | | | |
|--------------|-----|------------------|-----|-----|-----|------|------|------|------|-------|
| | | 1 a | 2 a | 3 a | 5 a | 10 a | 20 a | 30 a | 50 a | 100 a |
| min | Std | ± % | ± % | ± % | ± % | ± % | ± % | ± % | ± % | ± % |
| 5 | | 20 | 20 | 21 | 21 | 22 | 22 | 22 | 23 | 23 |
| 10 | | 23 | 24 | 25 | 25 | 26 | 26 | 27 | 27 | 27 |
| 15 | | 25 | 26 | 26 | 27 | 27 | 28 | 28 | 29 | 29 |
| 20 | | 25 | 26 | 27 | 27 | 28 | 29 | 29 | 29 | 30 |
| 30 | | 25 | 26 | 27 | 28 | 28 | 29 | 29 | 29 | 30 |
| 45 | | 25 | 26 | 27 | 27 | 28 | 28 | 29 | 29 | 29 |
| 60 | 1 | 24 | 25 | 26 | 26 | 27 | 28 | 28 | 28 | 29 |
| 90 | 1,5 | 23 | 24 | 25 | 25 | 26 | 27 | 27 | 27 | 28 |
| 120 | 2 | 22 | 23 | 24 | 24 | 25 | 26 | 26 | 26 | 27 |
| 180 | 3 | 21 | 22 | 22 | 23 | 23 | 24 | 24 | 25 | 25 |
| 240 | 4 | 20 | 21 | 21 | 22 | 22 | 23 | 23 | 24 | 24 |
| 360 | 6 | 19 | 19 | 20 | 20 | 21 | 22 | 22 | 22 | 23 |
| 540 | 9 | 18 | 18 | 19 | 19 | 20 | 20 | 21 | 21 | 21 |
| 720 | 12 | 17 | 18 | 18 | 19 | 19 | 20 | 20 | 20 | 21 |
| 1080 | 18 | 17 | 17 | 17 | 18 | 18 | 19 | 19 | 19 | 20 |
| 1440 | 24 | 17 | 17 | 17 | 17 | 18 | 18 | 19 | 19 | 19 |
| 2880 | 48 | 18 | 17 | 18 | 18 | 18 | 18 | 18 | 19 | 19 |
| 4320 | 72 | 19 | 18 | 18 | 18 | 19 | 19 | 19 | 19 | 19 |
| 5760 | 96 | 20 | 19 | 19 | 19 | 19 | 19 | 20 | 20 | 20 |
| 7200 | 120 | 21 | 20 | 20 | 20 | 20 | 20 | 20 | 20 | 20 |
| 8640 | 144 | 21 | 21 | 21 | 21 | 21 | 21 | 21 | 21 | 21 |
| 10080 | 168 | 22 | 22 | 21 | 21 | 21 | 21 | 21 | 21 | 21 |

Parameter für abweichende T und D

Lokationsparameter ξ (Xi)

18,37135037

Skalenparameter α (Alpha)

5,08668573

Formparameter κ (Kappa)

-0,1

1. Koutsoyiannis-Parameter θ (Theta)

0,01867592

2. Koutsoyiannis-Parameter η (Eta)

0,71322753

Parameter für dauerstufenübergreifende Extremwertschätzung nach KOUTSOYIANNIS et al. 1998.

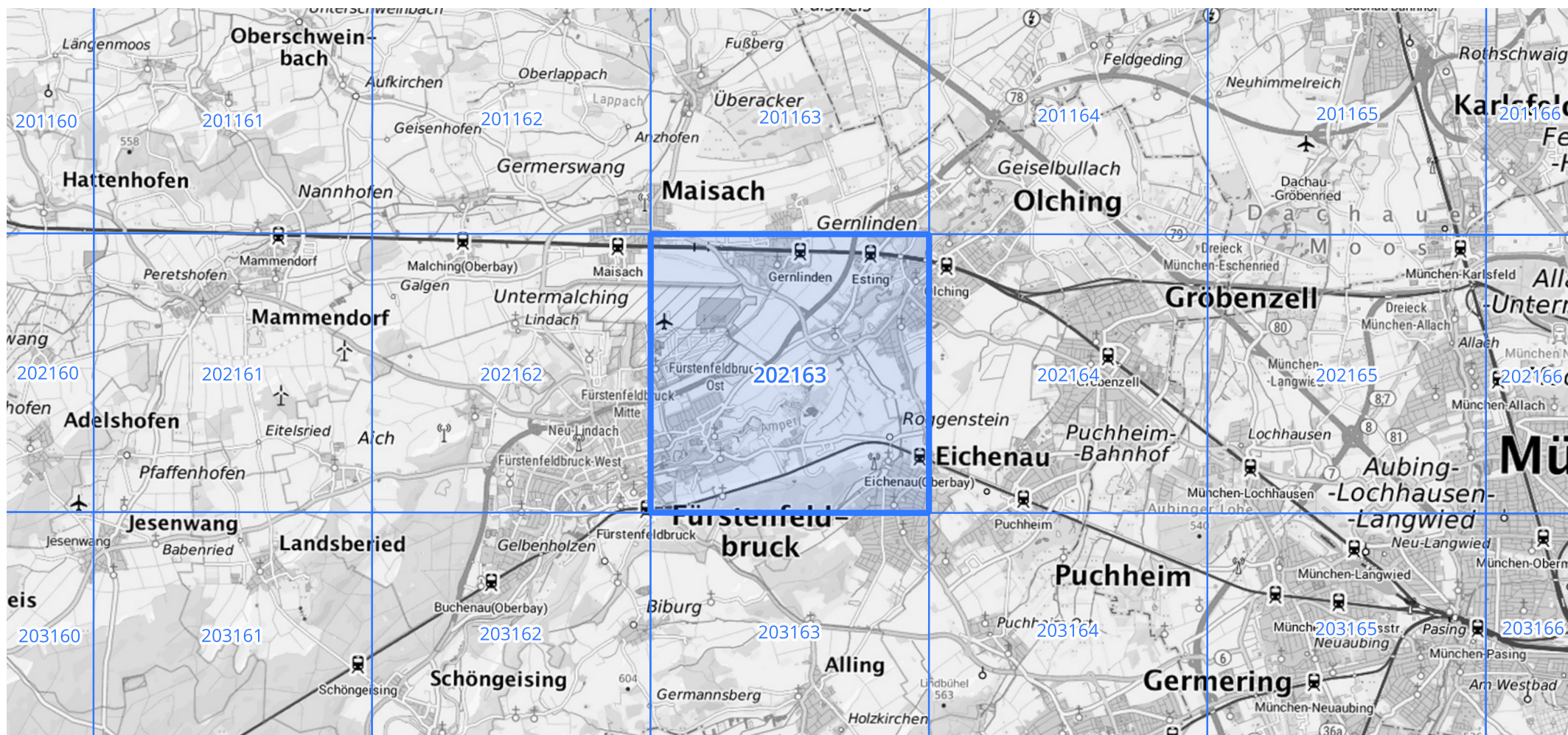
Siehe auch Anwendungshilfe zu KOSTRA-DWD-2020 des Deutschen Wetterdienstes.

Starkniederschlagshöhen und -spenden gemäß KOSTRA-DWD-2020

Rasterfeld 202163

(Zeile 202, Spalte 163)

Übersichtskarte des Rasterfeldes 202163, M 1 : 100 000



Quelle Rasterdaten: KOSTRA-DWD-2020 des Deutschen Wetterdienstes, Stand 12/2022.

Seite 3 von 3

Kartendarstellung: © Bundesamt für Kartographie und Geodäsie (2023), Datenquellen: https://sgx.geodatenzentrum.de/web_public/gdz/datenquellen/Datenquellen_TopPlusOpen.html

Für die Richtigkeit und Aktualität der Angaben wird keine Gewähr übernommen. Erstellt 01/2023.